

# УСТОЙЧИВОСТЬ И БИФУРКАЦИИ В СТАЦИОНАРНОЙ КОНВЕКЦИИ

И. Б. ПАЛЫМСКИЙ

*Новосибирский военный институт, Россия*  
e-mail: nina@ns.kinetics.nsc.ru

We explored different steady regimes of a Rayleigh—Benard convection. Parameter is spotted, his behaviour reflects stability, fracture and bifurcations of the solutions.

Исследование устойчивости двумерных стационарных решений сопряжено с большими вычислительными трудностями. Во всех известных автору работах исследователи ограничивались рассмотрением устойчивости нулевого (равновесного) или одномерного решений, типа течения в вертикальном канале [1, 2, 3].

Целью работы является исследование методом Галеркина устойчивости двумерных стационарных режимов конвекции.

Рассматриваются стационарные конвективные течения вязкой, несжимаемой жидкости в прямоугольной области при подогреве снизу. Горизонтальные границы области предполагаются изотермическими и свободными от касательных напряжений, а на вертикальных границах задан линейный профиль температуры и “мягкие” граничные условия для завихренности  $\omega$  и функции тока  $\varphi$ .

Записанная в отклонениях от равновесного решения, после обезразмеривания исходная система уравнений имеет вид [4, 5]:

$$\begin{aligned} \omega_t + \frac{1}{\Pr}(\varphi_y \omega_x - \varphi_x \omega_y) &= \Delta \omega + \text{Ra} Q_x, \\ \Delta \varphi &= -\omega, \\ Q_t + \frac{1}{\Pr}(\varphi_y Q_x - \varphi_x Q_y) &= \frac{1}{\Pr} \Delta Q - \frac{1}{\Pr} \varphi_x, \end{aligned} \tag{1}$$

где  $\varphi$  — функция тока,  $\omega$  — вихрь,  $Q$  — отклонение температуры от равновесного профиля (ная температура равна  $1 - y + Q$ ),  $\Delta f = f_{xx} + f_{yy}$  — оператор Лапласа,  $\text{Ra} = \frac{g\beta H^3 dQ}{\chi\nu}$  — число Рэлея,  $\Pr = \frac{\nu}{\chi}$  — число Прандтля,  $g$  — ускорение силы тяжести,  $\beta, \nu, \chi$  — коэффициенты теплового расширения, кинематической вязкости и температуропроводности, соответственно,  $H$  — толщина слоя и  $dQ$  — разность температур на горизонтальных границах.

Система (1) решается в области  $\Pi = \{(x, y) | 0 \leq x \leq l, 0 \leq y \leq 1\}$  с граничными условиями  $\varphi = \omega = Q = 0$  при  $y = 0, 1$ ;  $0 \leq x \leq l$  (на горизонтальных границах) и  $\varphi_x = \omega_x = Q = 0$  при  $x = 0, l; 0 \leq y \leq 1$  (на вертикальных границах).

Для бесконечномальных отклонений от стационарного решения системы (1) можно получить:

$$\begin{aligned} \omega_t + \frac{1}{\Pr}(\varphi_{0y} \omega_x + \varphi_y \omega_{0x} - \varphi_{0x} \omega_y - \varphi_x \omega_{0y}) &= \Delta \omega + \text{Ra} Q_x, \\ \Delta \varphi &= -\omega, \\ Q_t + \frac{1}{\Pr}(\varphi_{0y} Q_x + \varphi_y Q_{0x} - \varphi_{0x} Q_y - \varphi_x Q_{0y}) &= \frac{1}{\Pr} \Delta Q - \frac{1}{\Pr} \varphi_x, \end{aligned} \tag{2}$$

здесь  $\varphi, \omega, Q$  — бесконечномальные отклонения от стационарного решения  $\varphi_0, \omega_0, Q_0$ .

Стационарные решения системы (1) рассчитываются спектрально-разностным методом [5] и поэтому они представлены в виде:

$$\omega_0(x, y) = \sum_{k=0}^N \sum_{m=1}^{M-1} \omega_{km} \rho_k \cos(\alpha k x) \sin(\pi m y),$$

$$\varphi_0(x, y) = \sum_{k=0}^N \sum_{m=1}^{M-1} \frac{\omega_{km}}{\alpha^2 k^2 + \pi^2 m^2} \rho_k \cos(\alpha kx) \sin(\pi my),$$

$$Q_0(x, y) = \sum_{k=1}^{N-1} \sum_{m=1}^{M-1} Q_{km} \sin(\alpha kx) \sin(\pi my),$$

где  $\alpha = \frac{\pi}{l}$  — волновое число, а  $\rho_k = \{0.5 \text{ (при } k = 0, N) \text{, } 1 \text{ (при } 1 \leq k \leq N-1\}\}$ . Всегда полагалось  $\alpha = 1$  и  $\text{Pr} = 2$ .

Для уменьшения количества используемых гармоник отбрасывались гармоники амплитуда которых не превосходила 5 % от максимальной. Как правило, для представления завихренности (функции тока) использовалось до 10 гармоник, а для температуры — до 40.

Данная физическая задача характеризуется большим разнообразием стационарных решений, все они связаны с различного рода симметрией. При надкритичности  $r = 5$ ,  $r = \text{Ra}/\text{Ra}_{cr}$ ,  $\text{Ra}_{cr} = 657.5$  спектрально-разностным методом [5] можно получить четыре стационарных решения: пятивихревой (рис. 1) и трехвихревой (рис. 2) — с вращательной симметрией относительно точки  $(1/2, 0.5)$ , четырехвихревой (рис. 3) и двухвихревой (рис. 4) — с симметрией относительно вертикальной линии  $x = l/2$ .

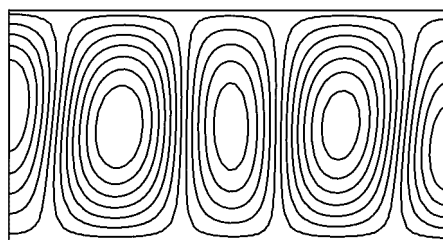


Рис.1

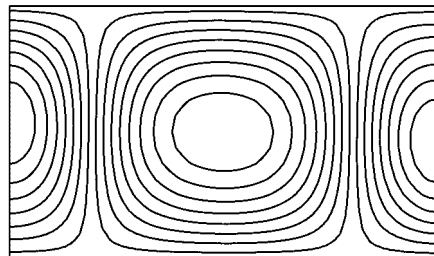


Рис.2

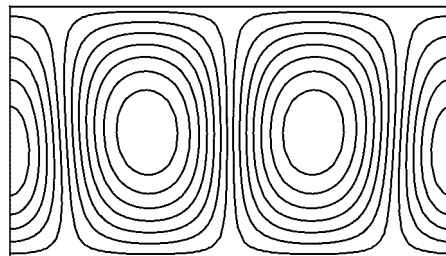


Рис.3

На рис. 1–4 показана функция тока при  $r = 5$  и  $\text{Pr} = 2$ . Пятивихревой стационарный режим устойчив только при небольших надкритичностях (до  $r = 42$ ), а трехвихревой и четырехвихревой стационарные решения устойчивы до  $r \approx 400$ , где от них мягко ответвляются устойчивые периодические решения (би-фуркация Хопфа). В искаженном виде трехвихревой и четырехвихревой режимы можно увидеть даже при возникновении стохастической конвекции при  $r \approx 1000$  [6, 7]. Систематичные расчеты двухвихревого стационарного режима при умеренных и больших надкритичностях не проводились из-за нефизичности

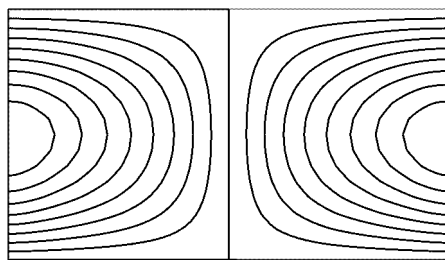


Рис.4

данного стационарного решения и вычислительных трудностей, обусловленных наличием теплового пограничного слоя у нижней границы.

Приближенные решения системы уравнений для возмущений (2) разыскиваются в виде:

$$\begin{aligned}\omega(t, x, y) &= a \exp(-\lambda t) \cos(\alpha kx) \sin(\pi my), \\ \varphi(t, x, y) &= \frac{a}{S} \exp(-\lambda t) \cos(\alpha kx) \sin(\pi my), \\ Q(t, x, y) &= b \exp(-\lambda t) \sin(\alpha kx) \sin(\pi my),\end{aligned}\quad (3)$$

где  $a$  и  $b$  — постоянные амплитуды, а  $S = \alpha^2 k^2 + \pi^2 m^2$ .

После подстановки в первое и третье уравнения системы (2) решений (3) (второе уравнение системы (2) выполнено автоматически выбором вида решения), умножения первого уравнения на  $\cos(\alpha kx) \sin(\pi my)$ , третьего на  $\sin(\alpha kx) \sin(\pi my)$  и интегрирования по всей области, получим два линейных уравнения для неизвестных амплитуд  $a$  и  $b$ . Как условие существования решений этой системы уравнений получаем вековое уравнение для  $\lambda$ .

Все выкладки проводились с помощью программы Maple V Release 5, в частности, подстановка решений (3) в систему (2), аналитическое вычисление необходимых интегралов и вывод двух уравнений для амплитуд  $a$  и  $b$ , затем вывод векового уравнения для  $\lambda$  и его решение.

Методическими расчетами установлено, что неустойчивость стационарных режимов связана с первой модой, поэтому всегда полагалось  $m = 1$ . Введем параметр

$$en = 0.5 \sum_{k=1}^N (\lambda_k - |\lambda_k|), \quad (4)$$

здесь суммирование производится по всем нарастающим гармоникам. Введенный таким образом параметр  $en$  аналогичен хорошо известной в теории динамических систем энтропии Колмогорова [8], которая является мерой неопределенности или мерой хаоса. Параметр  $en$  характеризует устойчивость стационарного решения.

Опишем результаты исследования устойчивости стационарных решений.

На рис. 5 представлена зависимость  $en$  от надкритичности  $r$  для пятивихревого режима, знаком • показаны расчетные значения. Можно выделить три области: 1 — область устойчивости пятивихревого режима стационарной конвекции ( $r \leq 25$ ), 2 — область разрушения ( $25 \leq r \leq 42$ ) и 3 — трехвихревой режим ( $42 \leq r$ ). Видно, что разрушение пятивихревого режима сопровождается уменьшением (ростом неустойчивости) параметра  $en$ .

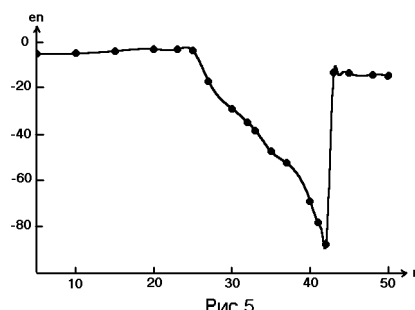


Рис.5

На рис. 6 изображена зависимость параметра  $en$  от надкритичности для трехвихревого режима конвекции, точки — расчетные значения. При  $r = 428$  мягко ответвляется устойчивый периодический режим.

При  $r \geq 428$  исследуется на устойчивость не стационарное решение (оно неустойчиво), а осредненное по времени. При  $r = 500$  происходит жесткое ответвление нового периодического режима. Вблизи точки бифуркации этот периодический режим метастабилен, что мы отождествляем с его неустойчивостью.

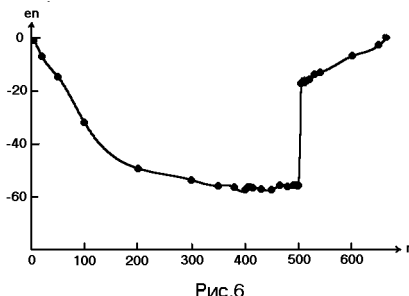


Рис.6

На рис. 7 показан размах колебаний числа Нуссельта Nu:

$$\text{Nu} = (\text{Nu}_0 + \text{Nu}_1)/2, \quad \text{Nu}_0 = \frac{\alpha}{\pi} \int_0^{\pi/\alpha} Q_y(t, x, 0) dx - 1, \quad \text{Nu}_1 = \frac{\alpha}{\pi} \int_0^{\pi/\alpha} Q_y(t, x, 1) dx - 1,$$

для этих двух периодических режимов как функция надкритичности. Знаком • показаны устойчивые решения, а x — метастабильные. Таким образом, скачкообразный рост параметра en (рис. 6,  $r = 500$ ) связан с жестким рождением нового неустойчивого периодического решения.

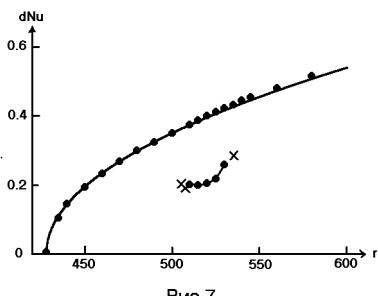


Рис.7

На рис. 8 изображена величина параметра en как функция надкритичности для четырехвихревого режима, знаки — расчетные значения. Видны разрывы при  $r = 20, 28$  и  $32$ . Предположительно, по аналогии с трехвихревым режимом, это связано с жестким рождением новых неустойчивых решений.

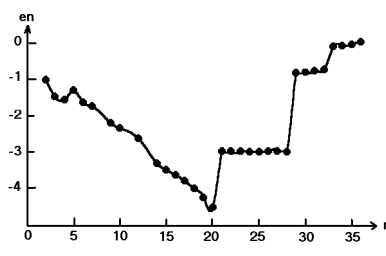


Рис.8

Интересен вопрос о влиянии числа Прандтля на устойчивость стационарных режимов. Для ответа на него, взяв за основу стационарное решение при  $r = 20$  и  $\text{Pr} = 2$ , вычислим  $\lambda$  как функцию  $\text{Pr}$ .

На рис. 9 схематично изображены функции  $\lambda = \lambda(\text{Pr})$  для пятивихревого, четырехвихревого и трехвихревого режимов.

Кривые с аномальным поведением вблизи  $\text{Pr} = 0$  (кривые 1 и 2 на рис. 9) типичны для пятивихревого и четырехвихревого режимов. Особенность при  $\text{Pr} = 0$  обусловлена наличием отрицательных степеней в разложениях функции  $\lambda = \lambda(\text{Pr})$  при  $\text{Pr} = 0$  в степенной ряд по  $\text{Pr}$ . Для трехвихревого режима разложения  $\lambda = \lambda(\text{Pr})$  по  $\text{Pr}$  при  $\text{Pr} = 0$  не содержат отрицательных степеней (кривые 3 и 4 на рис. 9). Наличие особенностей при  $\text{Pr} = 0$  позволяет предположить, что пятивихревой и четырехвихревой режимы не могут быть продолжены в область малых значений  $\text{Pr}$ , а трехвихревой режим может быть продолжен в область

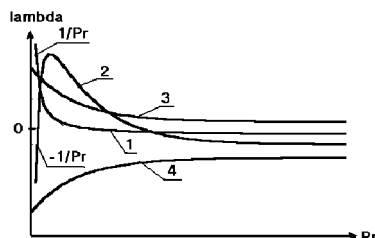


Рис.9

малых значений  $Pr$ . Результаты численных расчетов стационарных решений системы (1) подтвердили это вывод. По непрерывности четырехвихревой режим был продолжен до  $Pr = 0.8$ , пятивихревой — до  $Pr = 0.435$ , а трехвихревой режим без существенных трудностей — до  $Pr = 0.004$ .

#### Основные выводы

1. Поведение величины  $\epsilon n$ , определенной формулой (4), отражает устойчивость, разрушение и бифуркации стационарных решений.
  - a). Для пятивихревого режима резкое уменьшение значения параметра  $\epsilon n$  при  $25 \leq r \leq 42$  отражает разрушение этого стационарного решения,
  - b). Для трехвихревого режима скачкообразное увеличение значений параметра  $\epsilon n$  при  $r = 500$  отражает жесткое рождение неустойчивого периодического решения.
2. Скачкообразное увеличение значений  $\epsilon n$  для четырехвихревого режима при  $r = 20, 28$  и  $32$  отражает, предположительно, жесткое рождение новых неустойчивых решений.
3. Исследование зависимостей  $\lambda = \lambda(Pr)$  и прямые численные расчеты стационарных решений системы (1) показали, что при уменьшении  $Pr$  происходит разрушение пятивихревого и четырехвихревого режимов, связанное с особенностями функций  $\lambda = \lambda(Pr)$  при  $Pr = 0$ . Разрушения трехвихревого режима при уменьшении  $Pr$  не происходит, так как функция  $\lambda = \lambda(Pr)$  особенностей не имеет.

## Список литературы

- [1] ГЕРШУНИ Г. З., ЖУХОВИЦКИЙ Е. М. Конвективная устойчивость несжимаемой жидкости. М.: Наука, 1972. 392 с.
- [2] ГЕРШУНИ Г. З., ЖУХОВИЦКИЙ Е. М., НЕПОМНЯЩИЙ А. А. Устойчивость конвективных течений. М.: Наука, 1989.
- [3] ALEXANDER YU. GELFGAT. Different modes of Rayleigh-Benard instability in two-and three-dimensional rectangular enclosures // J. Comput. Phys. 1999. Vol. 156. P. 300–324.
- [4] БАБЕНКО К. И., РАХМАНОВ А. И. Численное исследование двумерной конвекции. М., 1988 (Препр. / АН СССР. ИПМ. № 118).
- [5] ПАЛЫМСКИЙ И. Б. Метод численного моделирования конвективных течений // Вычислите. технологии. 2000. Т. 5. № 6. С. 53–61.
- [6] ПАЛЫМСКИЙ И. Б. Режимы конвективных течений в задаче Рэлея-Бенара // Вычислите. технологии. 2001 (в печати).
- [7] ПАЛЫМСКИЙ И. Б. Хаос и детерминизм в двумерной конвекции // Прикладная механика и техническая физика. 2001 (в печати).
- [8] HAO-WEN XI, RAUL TORAL, J. D. GUNTON, MICHAEL I. TRIBELSKY. Extensive chaos in the Nikolaevskii model // Phys. Rev. E. 2000. Vol. 62, № 1. R17–20.